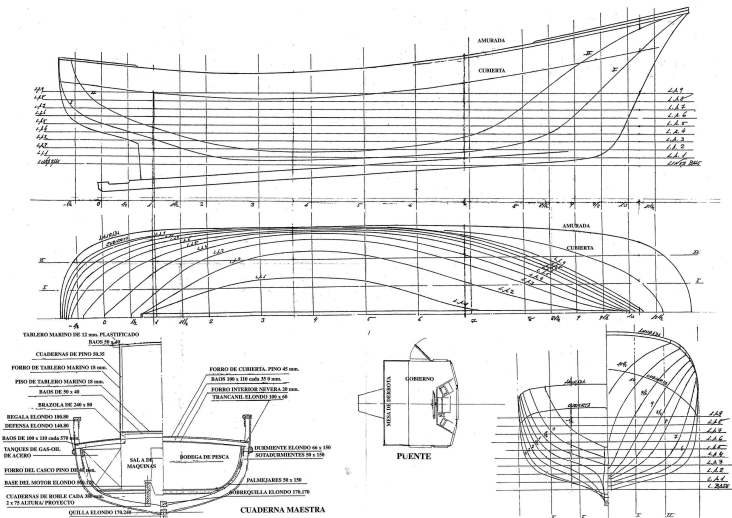


# Curvas de Bézier

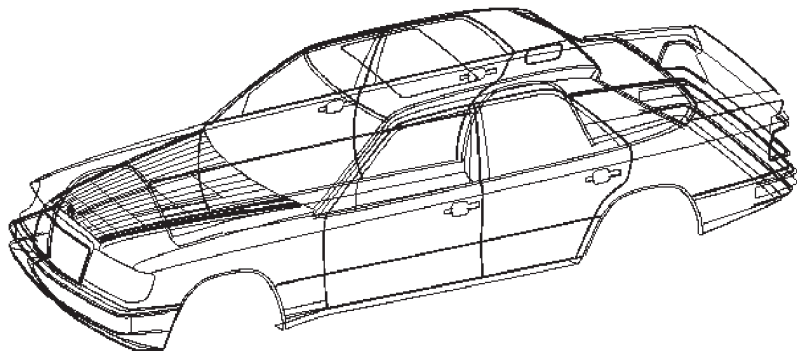
Leonardo Fernández Jambrina

Matemática Aplicada  
E.T.S.I. Navales  
Universidad Politécnica de Madrid

# Plano de formas de un pesquero



# Mercedes' bends



- Históricamente se trazaban los planos con junquillo (spline) en la industria naval, automovilística, aeronáutica. . .
- En la era de los ordenadores (1950-1960), ¿cómo digitalizar la información?
- Solución: Pierre Bézier (Renault), Paul de Casteljau (Citroën).

- **Curvas polinómicas.**
- Curvas racionales.
- Curvas *spline*.
- Superficies de Bézier.
- Generación de superficies.

# Algunas referencias



G. Farin

Curves and Surfaces for CAGD: a Practical Guide.  
*Morgan Kaufmann Publishers, San Francisco, 2002.*



J. Hoschek, D. Lasser

Fundamentals of Computer Aided Geometric Design.  
*AK Peters Ltd., Wellesley, 1993*



D.F. Rogers, J .A. Adams

Mathematical Elements for Computer Graphics.  
*McGraw-Hill, New York, 1990*



L. Fernández Jambrina

<http://dcain.etsin.upm.es/~leonardo>



L. Fernández Jambrina

<http://ocw.upm.es/matematica-aplicada>

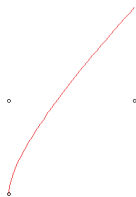
- 1 Introducción
- 2 Curvas de Bézier (polinómicas)
- 3 Propiedades de las curvas de Bézier
- 4 Algoritmo de De Casteljaou
- 5 Derivadas
- 6 Interpolación y aproximación

Representar curvas  $c(t) = \sum_{i=0}^n a_i t^i$ ,  $t \in [0, 1]$ ,  $a_i \in \mathbb{R}^p$ .

## Problemas:

- Asimetría:  $a_0$  es punto y el resto, vectores.
- Más asimetría: toda la información de la curva está concentrada en un entorno de  $a_0$ .
- Estabilidad numérica.





Bajo traslaciones.

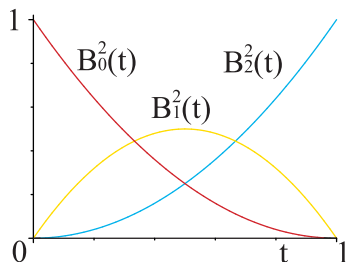


Bajo rotaciones.

# Polinomios de Bernstein

En vez de la base de polinomios,  $\{1, t, \dots, t^n\}$ , usaremos la base de polinomios de Bernstein (coeficientes binomiales),  $\{B_0^n(t), \dots, B_n^n(t)\}$ ,

$$B_i^n(t) = \binom{n}{i} t^i (1-t)^{n-i}.$$



# Polinomios de Bernstein

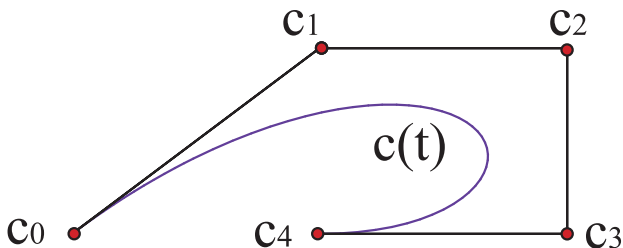
En vez de la base de polinomios,  $\{1, t, \dots, t^n\}$ , usaremos la base de polinomios de Bernstein (coeficientes binomiales),  $\{B_0^n(t), \dots, B_n^n(t)\}$ ,

$$B_i^n(t) = \binom{n}{i} t^i (1-t)^{n-i}.$$

- Aparecen en la demostración del teorema de Weierstrass (aproximación uniforme de funciones continuas por polinomios).
- Partición de la unidad:  $\sum_{i=0}^n B_i^n(t) = (t + (1-t))^n = 1.$
- Origen:  $B_0^n(0) = 1, B_i^n(0) = 0, i = 1, \dots, n.$
- Final:  $B_n^n(1) = 1, B_i^n(1) = 0, i = 0, \dots, n-1.$

# Curvas de Bézier

Representar curvas de grado  $n$ ,  $c(t) = \sum_{i=0}^n c_i B_i^n(t)$ ,  $t \in [0, 1]$ ,  $c_i \in \mathbb{R}^p$ ,  
 $\{c_0, \dots, c_n\}$  **polígono de control**.

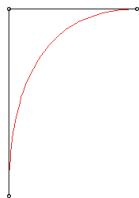


Representar curvas de grado  $n$ ,  $c(t) = \sum_{i=0}^n c_i B_i^n(t)$ ,  $t \in [0, 1]$ ,  $c_i \in \mathbb{R}^p$ ,

$\{c_0, \dots, c_n\}$  **polígono de control**.

- Invariancia bajo transformaciones afines: para  $f$  afín,  
 $f(c(t)) = \sum f(c_i) B_i^n(t)$ ,  $\{c_0, \dots, c_n\} \xrightarrow{f} \{f(c_0), \dots, f(c_n)\}$ .
- Extremos:  $c_0 = c(0)$ ,  $c_n = c(1)$ .
- Envoltente convexa: la curva está contenida en el menor polígono convexo generado por  $\{c_0, \dots, c_n\}$ .
- Derivadas:  $c'(0) = n(c_1 - c_0)$ ,  $c'(1) = n(c_n - c_{n-1})$ ,  
 $c'(t) = n \sum \Delta c_i B_i^{n-1}(t)$ ,  $\Delta c_i = c_{i+1} - c_i$ .
- Control (cuasi)-local: moviendo un vértice se mueve la parte más próxima de la curva.

# Comportamiento de los vértices bajo afinidades

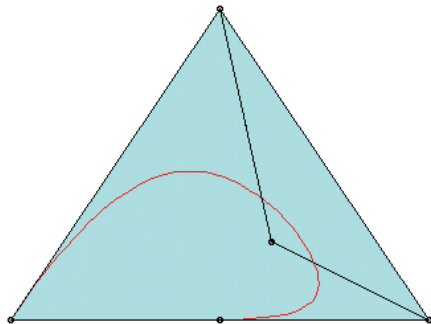


Bajo traslaciones.



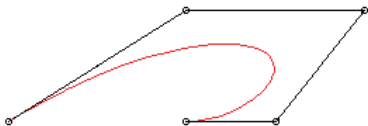
Bajo rotaciones.

# Propiedad de la envolvente convexa del polígono



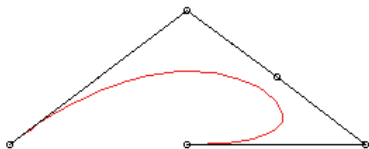
La curva se mantiene dentro de la envolvente convexa del polígono.

# Comportamiento de los vértices extremos



La curva pasa por los vértices extremos del polígono y se mantiene tangente a los lados extremos del mismo.





Moviendo un vértice del polígono se mueve la parte más próxima de la curva.

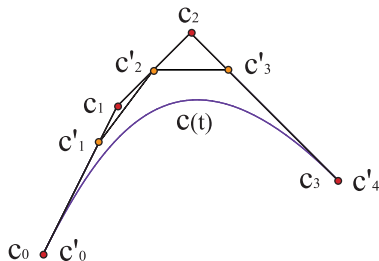
# Elevación del grado

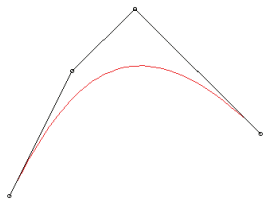
Una curva de Bézier de grado  $n$  se puede elevar formalmente de grado a  $n + 1$ ,

$$c(t) = c(t) ((1 - t) + t) = \sum_{i=0}^{n+1} c_i^1 B_i^{n+1}(t),$$

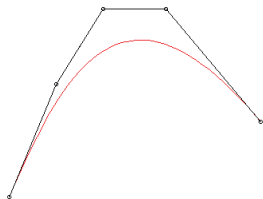
reexpresándola con polinomios de Bernstein de grado  $n + 1$ .

$$c_i^1 = \left(1 - \frac{i}{n+1}\right) c_i + \frac{i}{n+1} c_{i-1}, \quad i = 0, \dots, n+1$$

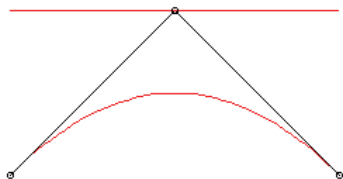




Elevación del grado.



Elevación sucesiva del grado.

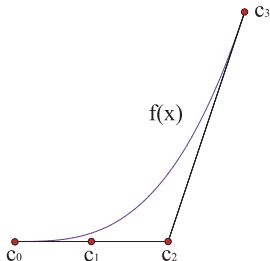


Una recta corta siempre a una curva en a lo sumo tantos puntos como al polígono.

- Como caso particular de las curvas parametrizadas, podemos considerar las **gráficas** de funciones  $f(t)$ ,  $t \in [0, 1]$ .
- El intervalo  $[0, 1]$  no es problema, ya que mediante el cambio  $t(u) = \frac{u-a}{b-a}$ , podemos usar  $u \in [a, b]$  tal que  $t(a) = 0$ ,  $t(b) = 1$ .
- Son curvas parametrizadas de la forma  $c(t) = (t, f(t))$ .
- Si  $f(t)$  es polinómica de grado  $n$ , tendrá un polígono de control  $\{f_0, \dots, f_n\}$ .
- La coordenada  $x$  es un polinomio de grado uno, con lo cual su *polígono* será  $\{0, 1\}$ .
- Elevando el grado a  $n$ , el polígono de  $x$  es  $\{0, 1/n, \dots, n/n\}$ .
- Así pues, el polígono de la gráfica  $c(t) = (t, f(t))$  es  $\{c_0, \dots, c_n\}$ , con  $c_i = (i/n, f_n)$ . Es decir, los vértices tienen abscisas equiespaciadas.

# Funciones o curvas

- Así pues, el polígono de la gráfica  $c(t) = (t, f(t))$  es  $\{c_0, \dots, c_n\}$ , con  $c_i = (i/n, f_n)$ . Es decir, los vértices tienen abscisas equiespaciadas.



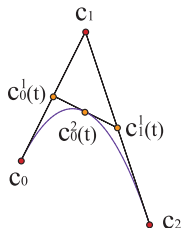
# Algoritmo de De Casteljaou

La formulación con polinomios de Bernstein es equivalente al siguiente algoritmo de  $n$  iteraciones:

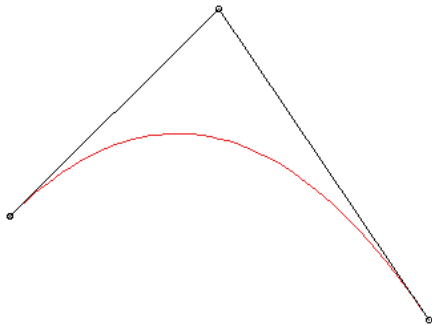
$$c_i^{1)}(t) := (1-t)c_i + tc_{i+1}, \quad i = 0, \dots, n-1,$$

$$c_i^{r)}(t) := (1-t)c_i^{r-1)}(t) + tc_{i+1}^{r-1)}(t), \quad i = 0, \dots, n-r, \quad r = 1, \dots, n,$$

hasta llegar a un único punto: el valor  $c(t) = c_0^n(t)$ .



- Derivada:  $c'(t) = n \left( c_1^{n-1)}(t) - c_0^{n-1)}(t) \right)$ .



Algoritmo de De Casteljaou para una parábola.



# Polarización de la parametrización

En vez de interpolar para un mismo  $t$  en los  $n$  pasos del algoritmo, interpolamos en el valor distinto  $t_i$  en cada paso,  $c[t_1, \dots, t_n]$ .

$$\begin{aligned}c_i^1)[t_1] &:= c_i^1)(t_1) = (1 - t_1)c_i + t_1 c_{i+1}, \quad i = 0, \dots, n - 1, \\c_i^r)[t_1, \dots, t_r] &:= (1 - t_r)c_i^{r-1}[t_1, \dots, t_{r-1}] + t_r c_{i+1}^{r-1}[t_1, \dots, t_{r-1}], \\c[t_1, \dots, t_n] &:= c_0^n)[t_1, \dots, t_n], \quad i = 0, \dots, n - r, \quad r = 1, \dots, n.\end{aligned}$$

Es una forma  $n$ -afín simétrica: para  $\lambda + \mu = 1$ ,

$$\begin{aligned}c[t_1, \dots, t_{i-1}, \lambda t_i + \mu s_i, t_{i+1}, \dots, t_n] &= \lambda c[t_1, \dots, t_{i-1}, t_i, t_{i+1}, \dots, t_n] \\ &+ \mu c[t_1, \dots, t_{i-1}, s_i, t_{i+1}, \dots, t_n].\end{aligned}$$

Obviamente,  $c[t, \dots, t] = c(t)$ .

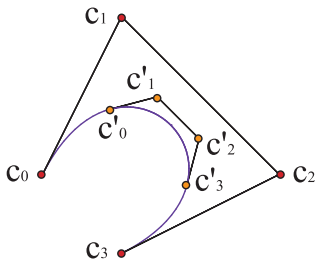
# Propiedades de la polarización

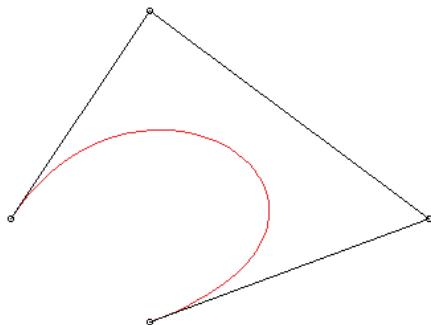
- Reconstruye el polígono de control:

$$c[0^{<n-i>}, 1^{<i>}] = c_i, \quad a^{<s>} = \underbrace{a, \dots, a}_{s \text{ veces}}$$

- Permite restringir la curva a un subintervalo  $[a, b] \subset [0, 1]$ , cuyo polígono es  $\{\tilde{c}_0, \dots, \tilde{c}_n\}$ ,

$$\tilde{c}_i = \tilde{c}[0^{<n-i>}, 1^{<i>}] = c[a^{<n-i>}, b^{<i>}].$$





La polar permite calcular el polígono de control de un tramo de una curva de Bézier conocida.

# Derivación

La derivada de una curva de Bézier es

$$\frac{dc(t)}{dt} = n \sum_{i=0}^{n-1} \Delta c_i B_i^{n-1}(t), \quad \frac{d^r c(t)}{dt^r} = \frac{n!}{(n-r)!} \sum_{i=0}^{n-r} \Delta^r c_i B_i^{n-r}(t),$$

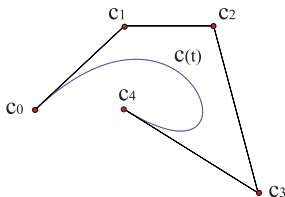
definiendo el vector diferencia como  $\Delta c_i = c_{i+1} - c_i$ .

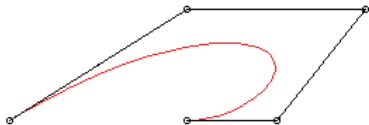
La derivada es otra curva de polígono  $\{n\Delta c_0, \dots, n\Delta c_{n-1}\}$ .

Como la curva pasa por los vértices inicial y final,

$$c'(0) = n\Delta c_0 = n(c_1 - c_0), \quad c'(1) = n\Delta c_{n-1} = n(c_n - c_{n-1}),$$

los vértices iniciales y finales indican las tangentes en los extremos.





Las parejas de vértices de los extremos de la curva de Bézier determinan las tangentes en dichos extremos.

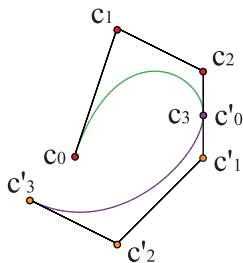
Para derivadas superiores,

$$\frac{d^r c(t)}{dt^r} = \frac{n!}{(n-r)!} \sum_{i=0}^{n-r} \Delta^r c_i B_i^{n-r}(t),$$

con las diferencias de orden superior  $\Delta^s c_i = \Delta^{s-1} c_{i+1} - \Delta^{s-1} c_i$ .

# Uniones de curvas

¿Cómo unimos dos curvas de grado  $n$ , definidas en intervalos adyacentes  $[u_0, u_1]$ ,  $[u_1, u_2]$  y polígonos  $\{c_0, \dots, c_n\}$ ,  $\{\tilde{c}_0, \dots, \tilde{c}_n\}$ ?



¿Cómo unimos dos curvas de grado  $n$ , definidas en intervalos adyacentes  $[u_0, u_1]$ ,  $[u_1, u_2]$  y polígonos  $\{c_0, \dots, c_n\}$ ,  $\{\tilde{c}_0, \dots, \tilde{c}_n\}$ ?

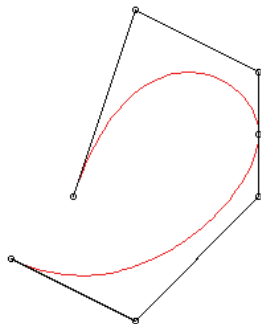
- Si queremos que sea continua,  $c_n = \tilde{c}_0$ .
- Si queremos que sea  $C^1$ ,

$$\frac{\Delta c_{n-1}}{\Delta u_0} = \frac{\Delta \tilde{c}_0}{\Delta u_1}, \quad \Delta u_0 = u_1 - u_0, \quad \Delta u_1 = u_2 - u_1.$$

- Si queremos que se a  $C^r$  (máximo  $r = n - 1$ ),

$$\frac{\Delta^s c_{n-s}}{(\Delta u_0)^s} = \frac{\Delta^s \tilde{c}_0}{(\Delta u_1)^s}, \quad s = 0, \dots, r.$$





Las parejas de vértices de los extremos de las curvas deben estar alineadas.

- Aunque este curso esté motivado por el modelado geométrico, las curvas de Bézier también tienen otros usos.
- Por ejemplo, el problema de *interpolación* una curva  $c(t)$  de grado  $n$  que pase por  $n + 1$  puntos  $a_0, \dots, a_n$  en *instantes*  $t_0, \dots, t_n$ ,

$$a_0 = c(t_0), \quad \dots \quad a_n = c(t_n).$$

- Supone resolver el sistema lineal  $BX = A$  ( $X = B^{-1}A$ ),

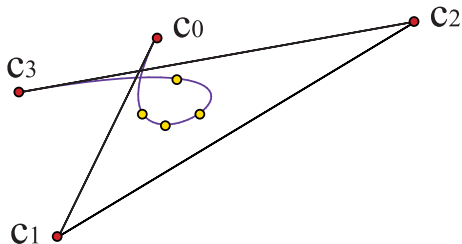
$$X = \begin{pmatrix} c_0 \\ \vdots \\ c_n \end{pmatrix}, \quad B = \begin{pmatrix} B_0^n(t_0) & \cdots & B_n^n(t_0) \\ \vdots & \ddots & \vdots \\ B_0^n(t_n) & \cdots & B_n^n(t_n) \end{pmatrix}, \quad A = \begin{pmatrix} a_0 \\ \vdots \\ a_n \end{pmatrix},$$

donde los puntos dato  $a_i$  e incógnita  $c_i$  están escritos como matrices fila.

# Interpolación

- Aunque este curso esté motivado por el modelado geométrico, las curvas de Bézier también tienen otros usos.
- Por ejemplo, el problema de *interpolación* una curva  $c(t)$  de grado  $n$  que pase por  $n + 1$  puntos  $a_0, \dots, a_n$  en *instantes*  $t_0, \dots, t_n$ ,

$$a_0 = c(t_0), \quad \dots \quad a_n = c(t_n).$$



- Obviamente, no es necesario usar curvas de Bézier para estos problemas, pero es eficiente.
- También está el problema de *aproximar* una curva  $c(t)$  de grado  $n$  que pase por  $m + 1$  puntos  $a_0, \dots, a_m$  en *instantes*  $t_0, \dots, t_m$ ,  $m > n$ .

$$a_0 = c(t_0), \quad \dots \quad a_m = c(t_m).$$

- El sistema  $BX = A$  de  $m + 1$  ecuaciones con  $n + 1$  incógnitas no tiene solución.
- Por eso se *aproxima* por una solución (mínimos cuadrados) del sistema  $(B^t)BX = (B^t)A$  de  $n + 1$  ecuaciones con  $n + 1$ .

# Aproximación

- Obviamente, no es necesario usar curvas de Bézier para estos problemas, pero es eficiente.
- También está el problema de *aproximar* una curva  $c(t)$  de grado  $n$  que pase por  $m + 1$  puntos  $a_0, \dots, a_m$  en instantes  $t_0, \dots, t_m$ ,  $m > n$ .

$$a_0 = c(t_0), \quad \dots \quad a_m = c(t_m).$$

